

**РАСЧЕТ МЕТОДОМ МОНТЕ-КАРЛО РАСПРЕДЕЛЕНИЯ
ТЕПЛОВЫХ НЕЙТРОНОВ В ПОЛУБЕСКОНЕЧНОЙ СРЕДЕ
ОТ ТОЧЕЧНОГО ИЗОТРОПНОГО ИСТОЧНИКА С ОТРАЖАТЕЛЕМ**

Ю. П. ПАХОМОВ, Г. Ш. ПЕКАРСКИЙ

(Представлена научным семинаром научно-исследовательского института
электронной интроскопии)

В настоящее время нашли широкое распространение нейтронные методы каротажа, измерения влажности, определения элементного состава веществ и т. д. Поскольку основные характеристики этих методов (чувствительность, производительность, глубинность и т. д.) определяются величиной и пространственным распределением потока нейтронов в исследуемом объеме вещества, в ряде работ проведены исследования распределения потока нейтронов в зависимости от параметров среды и спектра нейтронов источника [1—4].

Сложность учета граничных условий и энергетической зависимости сечений взаимодействия ограничила имеющиеся теоретические исследования рассмотрением бесконечной среды [1—3], либо полубесконечной среды и мононаправленного источника [4].

Ввиду того, что в ряде работ [5, 6] получено существенное влияние отражателя нейтронов, его материала и размеров на величину и распределение потока нейтронов, нами проводилось исследование влияния параметров точечного изотропного источника (спектра нейтронов, наличия отражателя и его размеров, параметров среды (влажность) на величину и пространственное распределение потока тепловых нейтронов в полубесконечном объеме грунта.

Исследования проводились для нейтронов спектра Ru—Be, Ru—LiF-источников и нейтронов с энергией 14 Мэв. В качестве исследуемой среды используется песок (двуокись кремния) с минералогической плотностью $2,65 \text{ г}/\text{см}^3$ и пористостью $\sim 40\%$. Влияние влажности оценивалось для малой (4 об. %) и полной влагонасыщенности среды.

Максимальные размеры отражателя (радиус и высота) принимались равными двум длинам свободного пробега нейтронов источников, что обеспечивает достаточно полное использование обратно рассеянных нейтронов. В качестве отражателя использована вода. Источник расположен на нижней поверхности по оси цилиндрического отражателя на высоте 10 см над поверхностью среды.

Определение потока тепловых нейтронов в указанной геометрии проводилось путем расчета переноса нейтронов методом Монте-Карло. Программа расчета состоит из двух частей: расчета замедления быстрых нейтронов и расчета диффузии тепловых нейтронов. В расчетах используются многогрупповые константы работы [7]. Они охватывают практически весь диапазон изменения энергии нейтронов от тепловых до 10,5 Мэв. Сечение взаимодействия для нейтронов с энергией более 10,5 Мэв аппроксимировалось групповым сечением в диапазоне

6,5÷14 Мэв, используя данные работ [8, 9]. Для уменьшения статистической погрешности расчета потока нейтронов в расчете используется одна из модификаций метода Монте-Карло, заключающаяся в аналитическом осреднении процесса поглощения [10]. При расчете замедления учет потери энергии производился лишь в упругих столкновениях [1—2]. Расчет анизотропии рассеяния проводился в транспортном приближении за исключением водорода, на котором анизотропия рассеяния учитывалась точно.

Оценка потока тепловых нейтронов производилась по числу столкновений тепловых нейтронов. Все расчетные результаты нормированы к нейтронному источнику, испускающему изотронно 1 нейтр/сек в полный телесный угол и для наглядности представлены в виде плавных кривых, полученных на основе гистограмм. Представленные на графиках результаты усреднены по следующим объемам: для распределений потока тепловых нейтронов по глубине — в пределах 0÷10 см по радиусу от оси, совпадающей с осью источника, и в пределах глубины $h \div h+5$ см для распределений по радиусу в пределах глубины 0÷5 см (у поверхности) и по радиусу в пределах $r \div r+10$ см.

На рис. 1 приведены результаты расчетов потока тепловых нейтронов по глубине при влажности среды $W=4$ об. % и высоте расположения источника $H=10$ см над поверхностью среды. Пунктиром обозначены данные для источников без отражателя, сплошные кривые — для источников с отражателем. Аналогичные результаты для $W=40$ об. % приведены на рис. 2.

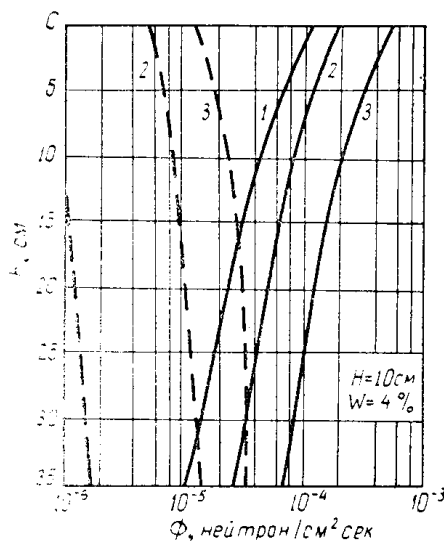


Рис. 1. Распределение потока тепловых нейтронов по глубине для песка с влажностью 4 об. %. Пунктирные линии — источник без отражателя, сплошные — с отражателем. Цифры у кривых: 1 — нейтронный генератор с энергией 14 мэв, 2 — Pu-Be-источник, 3 — Pu-LiF-источник.

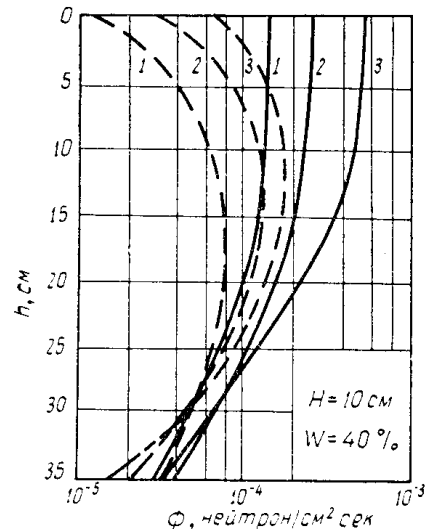


Рис. 2. Распределение потока тепловых нейтронов по глубине для песка с влажностью 40 об. %. Обозначения те же, что на рис. 1.

Данные по радиальному распределению потока тепловых нейтронов для источников с отражателем, расположенных на высоте 10 см, представлены на рис. 3. Пунктиром обозначены кривые для влажности среды $W=4$ об. % и сплошные — для $W=40$ об. %. Аналогичные ре-

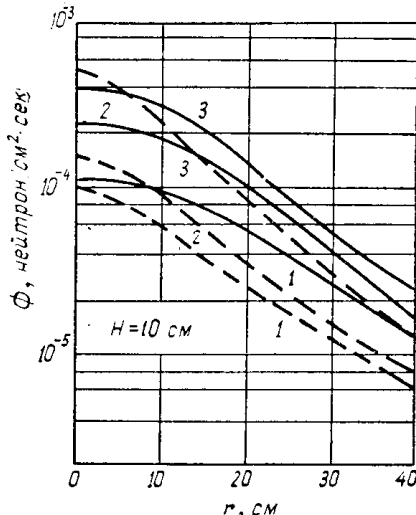


Рис. 3. Распределение потока тепловых нейтронов в песке по радиусу от источников с отражателем. Пунктирные линии — влажность 4 об. %, сплошные — 40 об. %. Цифры у кривых: 1 — нейtronный генератор с энергией 14 мэв, 2 — Pu—Be-источник, 3 — Pu—LiF-источник.

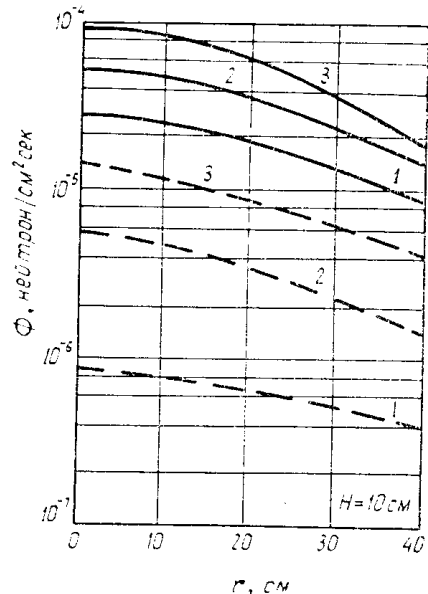


Рис. 4. Распределение потока тепловых нейтронов в песке по радиусу от источников без отражателя. Обозначения те же, что и на рис. 3.

зультаты для нейтронных источников без отражателя приведены на рис. 4.

Из полученных результатов следует:

1. Применение отражателя позволяет значительно увеличить поток тепловых нейтронов в полубесконечной среде. При этом:

а) для малой влагонасыщенности влияние отражателя более существенно. Так, для глубины 20 см поток нейтронов увеличивается для нейтронного генератора в 20 раз, для Pu—Be-источника — в 5 раз, для Pu—LiF-источника — в 4 раза, а при влажности 40 об. % поток увеличивается соответственно в 1,2, 1,4 и 1,5 раза;

б) из исследованных источников наибольший поток тепловых нейтронов на малых глубинах обеспечивает Pu—LiF-источник (в расчете на один нейtron источника);

в) использование отражателя существенно изменяет характер распределения потока тепловых нейтронов по глубине.

2. Спектр нейтронов источника существенно влияет на распределение потока тепловых нейтронов в среде. При этом:

а) для малой влагонасыщенности увеличение потока в среде особенно существенно и составляет для среды с $W=4$ об. % на глубине 20 см по отношению к потоку, создаваемому нейтронным генератором для Pu—Be-источника — в 10 раз, для Pu—LiF-источника — в 26 раз;

б) даже для полной влагонасыщенности ($W=40$ об. %) поток на глубине 20 см увеличивается соответственно в 1,4 и 1,9 раза.

3. Радиальное распределение потока тепловых нейтронов с применением отражателя позволяет значительно увеличить поток тепловых нейтронов в пределах локального объема, расположенного под источником.

Для исследования влияния тепловых и быстрых нейтронов из отражателя на величину потока и его форму распределения в среде были проведены расчеты для различных размеров отражателей, а также для отражателя, экранированного кадмием с толщиной, обеспечивающей полное поглощение тепловых нейтронов. На рис. 5 представлены результаты расчетов распределения потока тепловых нейтронов по глубине при влажности среды $W=4$ об.% и высоте расположения источника $H=10$ см.

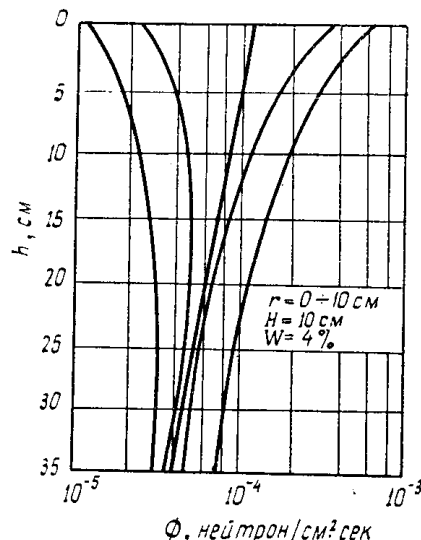


Рис. 5. Влияние размеров отражателя на распределение потока тепловых нейтронов по глубине. Цифры у кривых, диаметр и толщина цилиндрического отражателя: 1 — $20 \times 7,5$, 2 — 15×5 , 3 — 20×3 , 4 — $20 \times 7,5 + \text{Cd}$, 5 — без отражателя.

Анализ результатов показывает:

1. Основной вклад в увеличение потока тепловых нейтронов в среде обусловлен тепловыми нейтронами отражателя. Величина вклада определяется размерами отражателя.

2. Применение отражателя в кадмievом экране позволяет получить распределение потока по глубине, характер которого сходен с распределением от источника без отражателя. Увеличение потока обусловлено быстрыми и промежуточными нейтронами отражателя, имеющими более мягкий спектр, чем спектр источника. Вследствие этого максимум распределения по глубине смещен к поверхности. Для отражателя диаметром $20 \times 7,5$ см в кадмievом экране увеличение потока в максимуме распределения по глубине составляет $\sim 30\%$.

ЛИТЕРАТУРА

1. С. А. Денисик и др. В сб.: «Портативные генераторы нейтронов в ядерной геофизике». М., Атомиздат, 1962.
2. Р. А. Резванов и др. В сб.: «Прикладная геофизика». Вып. 5. М., «Недра», 1968.
3. В. Н. Стариков, Ф. Х. Еникеев. Распределение медленных нейтронов в однородном водородосодержащем песчанике. «Атомная энергия», вып. 3, 1969, т. 27, стр. 219.
4. M upatt F. R. et al. „Nuclear Technology, vol. 12 nov. 1971, p. 329—331.
5. В. А. Емельянов. Полевая радиометрия влажности и плотности почвогрунтов. М., Атомиздат, 1970.
6. В. И. Фоминых, О. А. Мигуньков. Направленный излучатель тепловых нейтронов. «Атомная энергия», вып. 6, 1971, т. 31, стр. 624.
7. Л. П. Абагян и др. Групповые константы для расчета ядерных реакторов. М., Атомиздат, 1964.
8. Б. Р. Бергельсон и др. Многогрупповые константы для расчета ядерных реакторов. М., Атомиздат, 1970.
9. Н. Л. Власов. Нейтроны. Изд. 2-е. М., «Наука», 1971.
10. Н. П. Бусленко и др. Метод статистических испытаний. М., Физматгиз, 1962.